



UNIVERSIDAD DE MURCIA

TRABAJO FINAL DE GRADO

Identificación de dispositivos IoT a través de huellas hardware

Autor:

Sergio MARÍN SÁNCHEZ
sergio.marins@um.es

Tutores:

Gregorio MARTÍNEZ PÉREZ

gregorio@um.es

Pedro Miguel SÁNCHEZ

SÁNCHEZ

pedromiguel.sanchez@um.es

4 de julio de 2022

*Me gustaría expresar mi
agradecimiento a todos los
amigos, profesores y familia que
han hecho posible que llegue a
este punto.*

Índice general

Resumen	5
Extended abstract	8
1 Introducción	12
1.1 Contexto	12
1.2 Motivación	12
1.3 Objetivos	13
1.4 Estructura del documento	14
2 Estado del arte	15
2.1 Dispositivos IoT	15
2.1.1 Introducción	15
2.1.2 Arquitectura IoT	15
2.1.3 Aplicaciones del IoT	16
2.2 Machine Learning	16
2.2.1 Introducción	16
2.2.2 Tratamiento de los datos	17
2.2.3 Algoritmos de aprendizaje supervisado	17
2.3 Revisión bibliográfica	20
2.3.1 Resultados de la revisión bibliográfica	24
3 Análisis de objetivos y metodología	26
3.1 Objetivos	26
4 Diseño y resolución	27
4.1 Elección del protocolo	27
4.2 Obtención de datos	27
4.3 Análisis de los datos	29
4.3.1 Experimento 1: Muestra secuencial	29
4.3.2 Experimento 2: Muestra paralela	30
4.4 Elección de la muestra de datos	31
4.5 Reducción de la dimensionalidad	32
4.6 Entrenamiento de los modelos	32

5	Resultados	38
6	Conclusiones y vías futuras	39
	Bibliografía	41

Índice de figuras

2.1	Funcionamiento del algoritmo KNN [5]	19
2.2	Separación por hiperplanos SVM [6]	20
2.3	Desbordamiento del contador [17]	21
2.4	Modelo del sistema de identificación [11]	22
2.5	Clasificador de dos niveles [2]	23
4.1	Topología de la red	28
4.2	Offset acumulado muestra secuencial	29
4.3	Diferencias entre offsets de dispositivos	29
4.4	Diagrama de cajas muestra secuencial	30
4.5	Offset acumulado muestra paralela	31
4.6	Diagrama de cajas muestra paralela	32
4.7	Correlación entre las variables estadísticas	33
4.8	Particiones de los datos	34
4.9	Comparativa hiperparámetros Random Forest	35
4.10	Comparativa de resultados entre modelos	35
4.11	Matrices de confusión con datos de la muestra paralela	36
4.12	Matriz de confusión del modelo final	37

Índice de tablas

2.1	Resultados en el estado del arte	25
4.1	Ejemplo de los datos obtenidos de cada dispositivo	28
4.2	Datos estadísticos muestra paralela	32
4.3	Equivalencia entre algoritmo e implementación	33

Resumen

En este proyecto se ha diseñado un modelo capaz de identificar dispositivos conectados en red local en base a las diferencias entre sus relojes internos comparados con un reloj que se fija como exacto. Con esto hemos creado un mecanismo que permitirá realizar conexiones más seguras.

Este trabajo se puede dividir en tres partes. Por un lado tenemos la obtención de los datos, para lo que usamos 5 dispositivos iguales en hardware y software (Raspberry Pi 4 Model B). De estos dispositivos obtenemos marcas de tiempo cada segundo de dos formas distintas. Por otro lado, tenemos el análisis estadístico de los datos obtenidos, que generará nuevos datos a partir de los previos. Por último tenemos el desarrollo de un modelo de Machine Learning que sea capaz de automatizar todo el proceso de distinguir los dispositivos partiendo de los datos estadísticos que hemos obtenido previamente.

Para obtener los datos se ha hecho uso de una arquitectura cliente-servidor entre los dispositivos a analizar y el dispositivo observador, con el fin de controlar el ritmo de envío de los paquetes. Las capturas se han realizado de dos formas, en secuencial y en paralelo. Por secuencial nos referimos a que primero obtenemos todas las marcas de tiempo de un dispositivo y posteriormente pasamos al siguiente. Por otro lado, en paralelo nos referimos a que se obtienen marcas de tiempo de todos los dispositivos simultáneamente.

Una vez se tienen todas las marcas de tiempo, se obtienen sus desviaciones respecto al dispositivo que se designó como referencia. De estas desviaciones se obtiene su incremento entre cada dos puntos, con estos valores usamos una ventana deslizante de 1 minuto, que equivale a 60 paquetes (se toman muestras cada segundo), y con de ellos se obtienen diversas variables estadísticas.

Una vez se tienen las variables estadísticas se analizarán los modelos de Machine Learning que han sido escogidos para este trabajo. Los modelos que se van a analizar son Random Forest, MLP, KNN, Naive Bayes, Árboles de decisión y SVM con kernel lineal.

Para comparar los modelos entre sí se usará el modelo entrenamiento/validación/test como forma de dividir los datos. Se entrenarán todos los modelos con el conjunto de entrenamiento y se comprobará su capacidad de generalización con el conjunto de validación. A la hora de entrenar los modelos se comprobarán diferentes parrillas de hiperparámetros para ajustar los modelos lo más posible a los datos de entrenamiento.

Al realizar estos entrenamientos se puede apreciar que los modelos basados en árboles son los mejores, tanto árboles de decisión (97.57 %) como Random Forest (99.51 %). Finalmente

se elige el algoritmo de Random Forest y se procede a entrenarlo con la totalidad de los datos de entrenamiento y los hiperparámetros usados anteriormente.

Como resultado final se tiene que el modelo de Random Forest con los hiperparámetros ajustados obtiene un valor de accuracy de 99.44 %.

Estado del arte

2.1 Dispositivos IoT

2.1.1 Introducción

El Internet de las Cosas, más conocido por Internet of Things (IoT), es el conjunto de dispositivos capaces de conectarse a internet, recolectar e intercambiar datos de forma autónoma. Una cosa que distingue a los dispositivos IoT de los que no lo son, es que estos dispositivos pueden interactuar entre ellos sin necesidad de intervención humana.

El concepto de IoT fue primeramente mencionado por Kevin Ashton en 1999 mientras realizaba una presentación sobre dispositivos RFID [9]. A pesar de esto el primer dispositivo de este tipo fue una máquina de refrescos en 1982 [26], que se conectaba a internet para informar los refrescos que contenía, y si estos se encontraban fríos.

2.1.2 Arquitectura IoT

Cada vez hay más dispositivos IoT conectados a internet, lo que dada su naturaleza, implica que son varias miles de millones de ellos. Por este motivo, los protocolos de la pila TCP/IP no están preparados para este número tan grande de dispositivos que manejar.

Existen diversas propuestas sobre arquitecturas multi capa que puedan asegurar los requisitos de calidad de servicio (QoS) y seguridad requeridos. En la propuesta de Muhammad Umar Farooq et al. [8] se hace mención a una arquitectura de 6 capas.

Por otro lado, en la propuesta de Ibrar Yaqoob et al. [28] se explica una propuesta más general, combinando varias de las capas que comparten gran parte de su cometido. A continuación se explican estas 3 capas:

1. **Capa sensitiva:** esta es la capa más básica. Es la que se encarga de recolectar toda la información que sea capaz el dispositivo a través de sus múltiples sensores.

2. **Capa de transporte:** esta capa es la que realiza todo el intercambio de información entre las otras dos capas. Se encarga de las operaciones de red.
3. **Capa de aplicación:** esta capa se encarga de extraer la información valiosa de los datos producidos por la capa sensitiva, y que le llegan a través de la capa de transporte. En esta capa se agrupan distintos servicios como data mining o computación en la nube.

2.1.3 Aplicaciones del IoT

En la actualidad, vivimos rodeados de dispositivos inteligentes. Estos dispositivos nos permiten realizar todo tipo de acciones, por ejemplo, un teléfono móvil nos permite enviar y recibir emails, enviar mensajes instantáneos, utilizar redes sociales, etc. A pesar de todas esas funciones, todos estos aparatos comparten un “problema”, necesitan de la intervención humana para realizar sus tareas.

De estas necesidades nacen los dispositivos IoT, por ejemplo, un frigorífico inteligente. Este frigorífico es capaz de llevar el inventario de productos que contiene y detectar cuando alguno de ellos está próximo a terminarse. De forma autónoma este dispositivo es capaz de conectarse a internet y realizar una pedido online al supermercado de nuestra preferencia para reabastecerse de estos productos.

Este es sólo un ejemplo, dentro del hogar se pueden encontrar también los muy conocidos robots aspiradora o los asistentes inteligentes, pero estos dispositivos pueden ir mucho más lejos. Estos dispositivos se pueden usar para un control inteligente del tráfico, donde un coche autónomo puede recibir en tiempo real las rutas menos congestionadas que seguir hacia un destino.

Otro de sus posibles usos está en la medicina. Donde se pueden instalar dispositivos de este tipo para medir distintas métricas de salud de los pacientes, como la frecuencia cardíaca o el nivel de glucosa en sangre. De esta forma, en caso de que una persona presente algún desorden, una ambulancia puede ser avisada de forma inmediata aunque dicha persona esté sola e inconsciente.

Como último ejemplo se mencionará al sector agrícola. En este campo se pueden desplegar drones que detecten el nivel de humedad del terreno y, por ejemplo, activen el riego de cierta zona en caso de ser necesario. También pueden haber sensores a nivel del suelo que detecten la calidad del suelo, midiendo los distintos nutrientes y actuando en consecuencia.

2.2 Machine Learning

2.2.1 Introducción

El Machine Learning se trata de una búsqueda, una búsqueda de formas alternativas de hacer algo. Para ello se busca en estructuras muy similares a las previas. Para modificar una estructura y seguir con la búsqueda nos valemos de sucesos que hayan acontecido, entonces, evaluamos si han mejorado y nos quedaremos como estructura para la siguiente iteración

con la que más mejore a la previa. Para realizar estas operaciones necesitamos una forma de cambiar de estructura y una forma de evaluar si hemos mejorado.

Con esta forma de trabajar se puede ver que el programa no tiene que resolver la tarea sino autoajustarse para obtener mejores evaluaciones cada vez. El programador por tanto no pone el programa sino proporcionar al programa la mejor estructura modificable y a continuación alimentar al sistema con datos. Aportamos por tanto ejemplos o premios que ayudan al programa a autoajustarse. Existen tres tipos de aprendizaje:

- **Supervisado:** al sistema se le proporcionan ejemplos de cuales la solución es conocida. Una variante sería el semi-supervisado en el que sólo una parte de los datos tienen solución conocida.
- **No Supervisado:** al sistema se le proporcionan datos que no tienen una solución conocida, esperando que el sistema nos proporcione conocimiento que intuimos que existe en dichos datos. Un ejemplo sería el *clustering* que agrupa los datos por similitudes.
- **Por refuerzo:** al sistema no se le pasan ejemplos de datos, sino que se le premia o castiga por distintas conductas que desarrolla automáticamente. Al final el sistema, que busca obtener más premios, se comportará de la forma que queremos.

2.2.2 Tratamiento de los datos

Para obtener un resultado de cuan bueno es un modelo (algoritmo) que se quiere usar se debe dividir el conjunto de datos inicial en dos conjuntos: **datos de entrenamiento** y **datos de test**. Con los datos de entrenamiento el algoritmo se ajusta y aprende de los datos, y con los datos de test comprobamos los resultados que obtenemos del algoritmo ante datos que no ha visto antes.

Para realizar una comparación entre distintos modelos y se quiere ver cuál es el que mejor se ajusta a los datos se debe dividir el conjunto de datos de entrenamiento en otros dos conjuntos: **conjunto de entrenamiento** y **conjunto de validación**. Con este último se puede evaluar la capacidad de generalizar de nuestro algoritmo.

Con esta segunda división se obtiene el algoritmo que mejor se adapta a nuestros datos, pero no un modelo final. Para tener un modelo final se entrenará este con el conjunto de datos de entrenamiento en su totalidad y se evaluará con los datos de test.

2.2.3 Algoritmos de aprendizaje supervisado

Dentro de los algoritmos de aprendizaje supervisado se encuentran algoritmos que clasifican y algoritmos que se dedican a la regresión.

Los algoritmos clasificadores tratan de agrupar a los distintos vectores de entrada en distintas clases. Un ejemplo de esto sería un algoritmo de clasificación binaria, en la que tenemos ejemplos **positivos** (pertenecen a la clase) o **negativos** (no pertenecen). Esto nos lleva a los conceptos de **falso positivo** (el sistema dice que pertenece y es falso) y **falso negativo** (el sistema dice que no pertenece y es falso).

Los algoritmos regresores buscan dar una salida numérica como resultado en lugar de la pertenencia a una clase, por tanto no sirven para este trabajo. A continuación se explicarán los algoritmos que se han usado para el desarrollo de este trabajo.

2.2.3.1 Árboles de decisión

La idea principal del algoritmo es que partiendo de un conjunto de elementos en el nodo padre, haciendo una pregunta binaria tal que se puede dividir el conjunto en otros 2 que sean más puros, es decir, que los elementos entre sí compartan (al menos) la característica por la que hemos preguntado.

Si los atributos son categóricos se puede crear una partición diciendo si pertenecen o no a la clase. Por contra, si los atributos son ordinales se pueden tener preguntas del tipo $x \leq x_c$.

2.2.3.2 Random Forest

Este algoritmo es un conjunto de árboles de decisión trabajando en paralelo. Cada árbol realizará de forma aleatoria una partición distinta a los otros para cada división de una rama, con esto se obtiene variabilidad en los resultados de los árboles. Por último, el algoritmo toma como salida aquella clase que haya sido el resultado de más árboles. [12] [4]

2.2.3.3 Multilayer Perceptron (MLP)

Se trata de un modelo de red neuronal artificial de tipo *feed-forward* (es decir, no existen ciclos en el grafo que forma la red). Consiste en una serie de múltiples capas (multilayer) de nodos que conforman grafos dirigidos, estando cada capa conectada con la siguiente.

MLP entrena la red utilizando la propagación hacia atrás (backpropagation) que, empleada junto con una técnica de optimización como gradient descent, calcula el gradiente de una función de pérdida respecto a todos los pesos en la red, de manera que se pasa el valor del gradiente al método de optimización y este lo usa para actualizar los pesos, con el objetivo de minimizar la función de pérdida.

2.2.3.4 Naive Bayes

Los algoritmos de aprendizaje bayesianos tratan de encontrar la probabilidad de que un dato pertenezca a una clase. Una vez se tienen todas las probabilidades de pertenencia a una clase se toma como salida del algoritmo aquella clase con la mayor probabilidad.

Para realizar este proceso el algoritmo usa distintos atributos de cada dato a_1, \dots, a_n . Ahora este proceso se trata de conocer la probabilidad condicionada de que este conjunto de atributos pertenezca a una determinada clase. Esto es muy costoso y por tanto hay que relajar esta hipótesis. Para ello se asume independencia entre los atributos de ahí el nombre de *naive*.

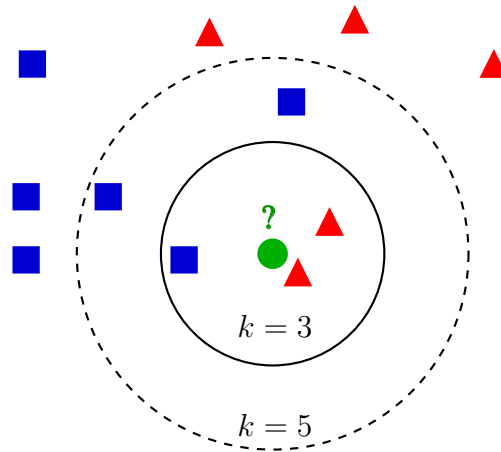


Figura 2.1: Funcionamiento del algoritmo KNN [5]

2.2.3.5 K Nearest Neighbours (KNN)

El algoritmo KNN es un algoritmo que se usa mayoritariamente para clasificación. En este algoritmo los datos se agrupan por distancias.

A la hora de clasificar un nuevo dato, este algoritmo busca los k datos más cercanos. Una vez tiene esos datos comprueba sus clases. La clase con mayor representación entre los k datos es la que se asignará al nuevo dato. Podemos verlo con un ejemplo.

En la Fig. 2.1 se quiere clasificar el dato ● podemos usar múltiples valores de k y con ello obtendremos diferentes resultados:

- Si usamos $k = 3$ sólo nos fijaremos en los 3 datos más próximos, que serán 2 de la clase ▲ y uno de la clase ■. Con esto la clase que se asignará al dato ● será ▲.
- Si usamos $k = 5$ sólo nos fijaremos en los 5 datos más próximos, que serán 2 de la clase ▲ y tres de la clase ■. Con esto la clase que se asignará al dato ● será ■.

2.2.3.6 Máquinas de vector soporte (SVM)

Las máquinas de vector soporte son un conjunto de algoritmos de aprendizaje supervisado que se utilizan tanto para clasificación como para regresión, nos centraremos en clasificación.

Estos algoritmos toman los datos como puntos en un espacio n -dimensional. El objetivo es dividir estos datos mediante hiperplanos de forma que los puntos que contenidos en una región del espacio delimitada por los mismos hiperplanos sean una misma clase y que estén lo más separados posible. Esto se puede ver más fácil con un ejemplo.

En la Fig. 2.2 podemos ver como hay distintos hiperplanos $(\mathcal{H}_1, \mathcal{H}_2, \mathcal{H}_3)$ que pueden dividir el espacio.

- \mathcal{H}_1 no divide de forma correcta todos los puntos de la entrada, puesto que hay puntos negros juntos con blancos.

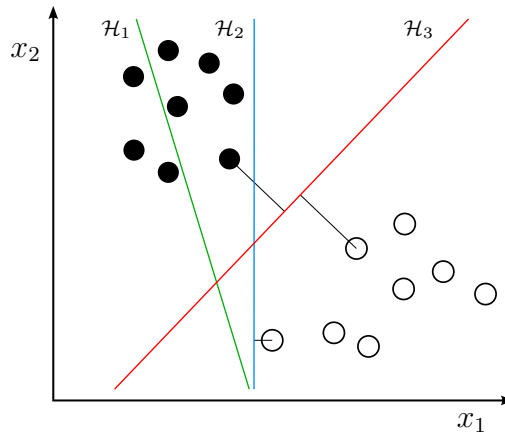


Figura 2.2: Separación por hiperplanos SVM [6]

- \mathcal{H}_2 sí que divide a todos los puntos en dos clases de la forma correcta, pero no están separados lo máximo posible de este hiperplano.
- \mathcal{H}_3 sí que cumple con las restricciones de división y distancia máxima.

En muchas ocasiones no se podrán dividir los conjuntos de forma correcta usando únicamente divisiones lineales del espacio, por ello, habrá que usar divisiones no lineales.

2.3 Revisión bibliográfica

En esta sección se realiza un estudio del estado del arte relativo a la aplicación de distintas técnicas que tengan como objetivo identificar a un dispositivo a través de la red independientemente de un identificador susceptible de ser identificado. Para estos cometidos son muy utilizados los algoritmos de aprendizaje automático o Machine Learning.

Comenzamos la revisión bibliográfica por el trabajo desarrollado por Pascal Oser et al. [17]. En este trabajo se desarrolla un sistema para identificar dispositivos entre un total de 562 en el centro del CERN. Para este cometido se toman muestras periódicas de las marcas de tiempo (timestamps) contenidas en paquetes TCP que se envían y reciben de estos dispositivos.

De estas marcas se obtienen las variables que se usarán para entrenar los distintos modelos de machine learning. Las variables que obtiene son el incremento entre dos marcas consecutivas, el desbordamiento del contador de la marca de tiempo, la mediana de todas las marcas, etc.

Una variable interesante es la del desbordamiento del contador. En el RFC 1323 [3] se define que el contador del timestamp (campo TSval) tiene una longitud de 4 bytes (32 bits), por lo tanto, el mayor valor que podrá tener asignado es 2^{32} , puesto que es un entero sin signo. Se podría pensar que todos los dispositivos desbordan a la vez, pero cada fabricante establece el valor al que el contador se desborda. Esto está ilustrado en la Fig. 2.3 con dos ejemplos.

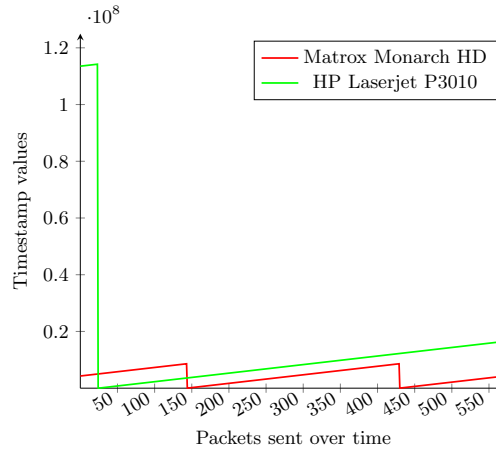


Figura 2.3: Desbordamiento del contador [17]

Una vez tiene todas las variables registradas para todos los dispositivos, compara varios modelos de machine learning, para clasificar cada uno de los dispositivos. Los resultados que obtiene son de un accuracy del 99.22 % con MLP, un 99.14 % con SVM y por último 99.67 % con Random Forest.

Con estos datos decide quedarse con el modelo de Random Forest, el cual entrena con la totalidad de los datos de entrenamiento, obteniendo finalmente una precisión del 97.03 % y un accuracy del 99.76 %.

Otro trabajo relacionado con la temática ha sido desarrollado por Salma Abdalla Hamad et al. [11]. En este trabajo se desarrolla un sistema que identifique a un dispositivo que quiere conectarse a la red y decida si se le permite realizar esta acción o se le deniega. Además este sistema comprobará periódicamente los dispositivos que están ya en la red para detectar comportamientos malintencionados.

Este sistema (Fig. 2.4), una vez se tiene una traza del dispositivo que se quiere conectar por primera vez a la red, crea una huella del dispositivo que será analizada por un modelo (previamente entrenado) que lo clasificará como desconocido o no, en caso de que esté en una lista blanca. En caso de ser un dispositivo desconocido se le denegará el acceso a la red. Por contra, si está en la lista, se consultará una matriz de autorización (que contiene la confianza de ese dispositivo según sus vulnerabilidades) para saber que privilegios recibirá ese dispositivo. Con esto el dispositivo puede conectarse como un dispositivo “confiable”, teniendo acceso a comunicarse con todos los dispositivos de la red, o por contra, de “acceso restringido” donde solo podrá comunicarse con dispositivos de ese mismo nivel de acceso.

Para los dispositivos que ya están conectados a la red, se toma una muestra aleatoria que comprobará si se han clasificado de forma correcta. En el caso de que se haya clasificado mal pero siga estando en la lista blanca se actualizará su matriz de autorización. Por otra parte, en caso de que no esté en dicha lista se pondrá en cuarentena para ser analizado más adelante.

Las huellas de los dispositivos se obtienen del payload de los mensajes enviados por ese dispositivo. De ellos se obtienen 67 características como el tamaño del paquete Ethernet, el tamaño de las cabeceras, la IP de destino, el TTL, etc.

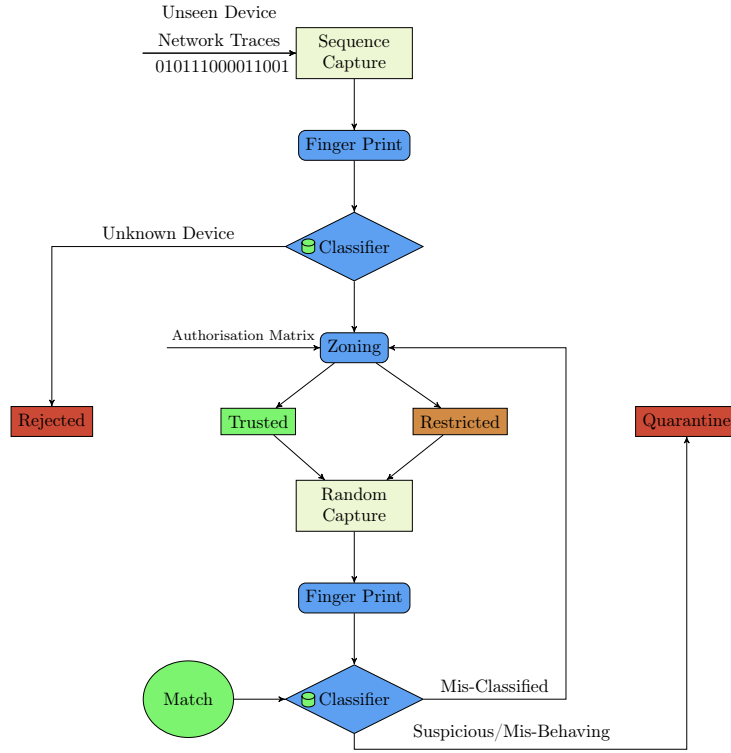


Figura 2.4: Modelo del sistema de identificación [11]

Con estas huellas entrena distintos modelos como son AdaBoost, LDA, KNN, Árboles de decisión, Naive Bayes, SVM, Random Forest y GBoost. Obtuvo un accuracy final del 89 %.

El siguiente artículo que se analizará es el realizado por Ahmet Aksoy et al. [2]. Este trabajo diseña un sistema (llamado SysID) que es capaz de identificar dispositivos a través del tráfico de red.

Este sistema únicamente necesita un paquete de red para identificar el dispositivo. Dado un paquete de la traza se seleccionan n cabeceras del paquete mediante un algoritmo genético, que implementa una función fitness (Eq. 2.1) que trata de reducir este número de cabeceras.

$$Fitness = 0.9 \cdot Accuracy + 0.1 \cdot \left(1 - \frac{|SelectedFeatures| - 1}{|AllFeatures| - 1}\right) \quad (2.1)$$

donde $n = |SelectedFeatures|$ y $Accuracy$ es el resultado que se obtiene del modelo de machine learning entrenado con esas cabeceras.

Las trazas que se han usado para clasificar estos dispositivos provienen de una base de datos de otro artículo [16], de donde se obtienen 20 medidas de 23 dispositivos IoT.

Para la clasificación se han usado diferentes algoritmos de la herramienta WEKA [10] como son tablas de decisión, árboles de decisión J48, OneR y PART. Se decide usar una clasificación en dos niveles (Fig. 2.5), se clasifican primero entre su proveedor o el propio dispositivo, dependiendo de si hay más de un mismo dispositivo del mismo proveedor. Después se clasifican los dispositivos del mismo proveedor entre sí. Este esquema ayuda a tener mejores resultados pues cada proveedor puede ser identificado de mejor forma por un algoritmo distinto.

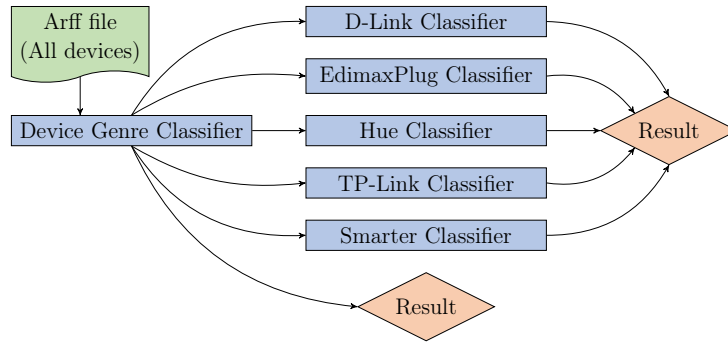


Figura 2.5: Clasificador de dos niveles [2]

Los resultados que obtiene son de un 82 % de accuracy promedio entre todos los clasificadores de cada proveedor. Los valores individuales están entre el 42.2 % y el 100 %.

El siguiente trabajo que se verá es el realizado por Hossein Jafari et al. [13]. En este artículo no se utilizan paquetes de la capa de red o transporte, sino de la capa física. Para realizar esta labor se obtendrá la huella de cada dispositivo mediante radio frecuencias, por esta razón, este estudio sólo se centrará en conexiones inalámbricas, en este caso 6 dispositivos ZigBee.

Para cada uno de los dispositivos se realiza una captura de 5 minutos. Esta captura será del SNR en 5 niveles distintos, con lo que se obtiene 10 GB por dispositivo y nivel de SNR, lo que en total serían 300 GB de datos.

A continuación procede a entrenar tres modelos de deep learning, DNN, CNN y LSTM (los tres modelos pertenecen a la librería **TensorFlow** programada para Python [1]), con los que obtiene unos resultados de 96.3 %, 94.7 % y 76 % respectivamente.

Fabian Lanze et al. [14] han desarrollado un trabajo en el que crean un sistema de identificación de dispositivos basado en el clock skew. Su objetivo es generar huellas para cada punto de acceso, de forma que si un dispositivo pueda saber si ese punto de acceso es legítimo, o por contra si puede ser un potencial atacante.

Lo primero que hacen es definir el skew de un reloj como la primera derivada del offset de dicho reloj. De forma práctica usarán la desviación que almacena el demonio del servicio NTP para aproximar el skew del dispositivo conectado al punto de acceso. Usará conexión inalámbrica y recogerá hasta 6000 paquetes por dispositivo en cada muestra (10 minutos). Si en una muestra no se alcanzan los 500 paquetes, por problemas de conexión o cualquier otro motivo, esa muestra se elimina. Con este proceso se consiguen medir 388 puntos de acceso.

Finalmente, trata de generar una huella para cada punto de acceso de forma estadística, basándose sobre todo en la distribución del clock skew. Como resultado obtiene que su método no es suficientemente preciso y que muchos dispositivos presentan una huella similar, por lo tanto, concluye que no es posible identificarlos únicamente de esta forma.

En el trabajo desarrollado por Yair Meidan et al. [15] se desarrolla un sistema que es capaz de identificar dispositivos IoT a través de su tráfico de red. Las pruebas se realizan con trazas sobre conexión inalámbrica y tanto con dispositivos IoT como con PCs, smartphones, etc.

De estas trazas se centran específicamente en las sesiones TCP, donde cada una se representa como un conjunto de características de cada paquete.

Primeramente, ejecutan un clasificador binario con el que obtienen la probabilidad de que un dispositivo sea IoT, usando solo información de una sesión TCP de cada dispositivo. En este apartado obtienen un 100 % de acierto.

Por último, entrenan distintos modelos de clasificación (GBM, Random Forest, XG-Boost), únicamente sobre los dispositivos previamente etiquetados como IoT, obteniendo finalmente un resultado de un 99.281 % de accuracy en la identificación del modelo y marca de cada uno de ellos.

Como último artículo se analizará la propuesta realizada por Loh Chin Choong Desmond et al. [7]. En este trabajo han construido un sistema de identificación de dispositivos basado en los mensajes *probe request* de los distintos dispositivos. Para ello, distinguirán como dispositivos distintos las distintas combinaciones de la tupla: ⟨“Machine”, “Wireless Network Interface Card (NIC) Driver”, “Operating System”⟩.

A continuación, comprueban que en el tiempo de emisión de estos mensajes se ven varios comportamientos que se repiten. Luego, observan que la latencia entre ráfagas de estos mensajes también presenta estos comportamientos distintivos. Con estas latencias son con las que entrenarán un modelo que sea capaz de distinguir los dispositivos.

El modelo que eligen se basa en aprendizaje no supervisado, Maximum Variance Clustering [27]. Este modelo es similar al algoritmo de k -medias, la distinción es que k -medias necesita conocer previamente el número de clústeres k previamente, mientras que Maximum Variance Clustering necesita conocer la varianza máxima dentro de un clúster σ_{max}^2 . Con este algoritmo obtienen unos resultados de accuracy entre el 70 % y el 80 %.

2.3.1 Resultados de la revisión bibliográfica

Por último realizaremos un resumen en forma de tabla de los artículos que han sido revisados.

Referencia	Fuente de los datos	Método de clasificación	Tipo de aprendizaje	Algoritmos usados	Resultados
[17]	Cabeceras TCP	Machine Learning	Supervisado	MLP, SVM, Random Forest	99.76 % de accuracy y 97.03 % de precisión
[11]	Características del payload	Machine Learning	Supervisado	AdaBoost, LDA, KNN, Árboles de decisión, Naive Bayes, SVM, Random Forest y GBoost	89 % de accuracy
[2]	Cabeceras TCP	Machine Learning	Supervisado	Tablas de decisión, Árboles de decisión J48, OneR y PART	Entre 42.2 % y 100 % de accuracy, con un promedio de 82 %
[13]	Radio frecuencias	Machine Learning	Supervisado	DNN, CNN y LSTM	96.3 % de accuracy en DNN, 94.7 % de accuracy en CNN y 76 % de accuracy en LSTM
[14]	Registros NTP	Estadístico	-	-	Inconcluyentes
[15]	Sesiones TCP	Machine Learning	Supervisado	GBM, Random Forest y XGBoost	99.281 % de accuracy
[7]	Mensajes <i>probe request</i>	Machine Learning	No supervisado	Maximum Variance Clustering	Entre un 70 % y 80 % de accuracy

Tabla 2.1: Resultados en el estado del arte

CAPÍTULO 3

Análisis de objetivos y metodología

En esta sección definiremos los objetivos del trabajo y se realizará un análisis sobre las decisiones tomadas.

3.1 Objetivos

El objetivo de este trabajo será entrenar un modelo de machine learning que sea capaz de identificar cada dispositivo respecto de los otros que se encuentran bajo análisis. Para realizar esto mediremos la desviación de los respectivos relojes (*clock skew*).

Esta desviación se verá como la diferencia entre un reloj teóricamente exacto c_{ex} y el reloj del dispositivo a analizar c en un tiempo t . Con esto definimos la desviación del reloj c en el tiempo t como:

$$offset(c(t)) = c(t) - c_{ex}(t)$$

Una vez tengamos esta desviación de reloj para cada uno de los dispositivos, estudiaremos como varía esta desviación a lo largo del tiempo. Para esta labor definimos:

$$\Delta offset(c(t)) = offset(c(t)) - offset(c(t-1))$$

Una vez tenemos los datos recogidos, estudiaremos distintos valores estadísticos que, presumiblemente, nos aportarán información para distinguir los distintos dispositivos.

Por último analizaremos un conjunto de algoritmos de Machine Learning entrenados con un subconjunto de estos datos, para evaluar su capacidad de identificar los dispositivos.

CAPÍTULO 4

Diseño y resolución

En este capítulo se realiza la descripción de los experimentos realizados, su análisis y la búsqueda de un modelo de Machine Learning, así como los resultados finales del trabajo.

En este trabajo se usará una topología de red como la que ilustra la Fig. 4.1. En dicha topología podemos ver que tenemos un observador (modelo RockPro64) y 5 dispositivos a analizar (Raspberry Pi).

La idea es mandar mensajes desde el observador a cada uno de los dispositivos y que cada uno de los dispositivos conteste a esos mensajes y podamos obtener una marca de tiempo en ese dispositivo.

4.1 Elección del protocolo

Las opciones barajadas han sido TCP e ICMP. En un principio se pensaba usar las marcas de tiempo contenidas en las cabeceras de estos protocolos, pero esta idea se descartó puesto que únicamente permitían obtener los tiempos en milisegundos. El objetivo era obtener los tiempos en nanosegundos por tanto, se enviaron los datos en el cuerpo del paquete que no tiene una limitación tan corta de espacio.

Con el fin de mantener la conexión persistente en toda la muestra se escogió el protocolo TCP, ya que una vez establecida la conexión la mantendremos hasta el final.

4.2 Obtención de datos

Para obtener los datos usaremos una estructura cliente-servidor. En nuestro los dispositivos a analizar serán los que tomen el rol de servidores y el observador será el cliente.

Con esta idea en mente creamos un programa servidor que escuche a cualquier dirección IP en un determinado puerto y responda con una marca de tiempo en nanosegundos. Este

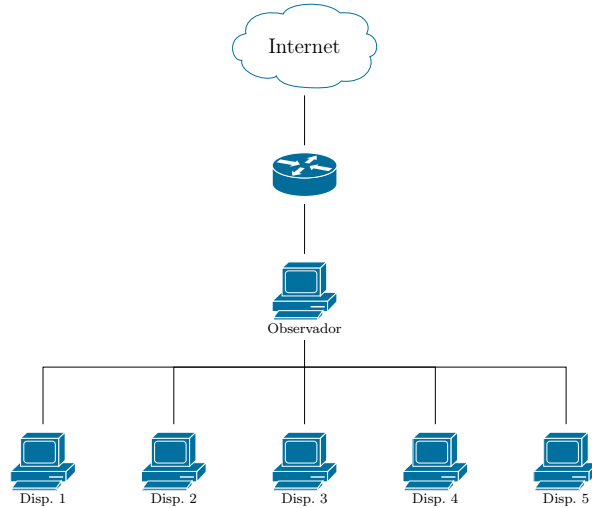


Figura 4.1: Topología de la red

time	TSrock	TSrasp	offset	device
292	119238112796030	104592709716803	-14645403079227	192.168.1.111
1001191222	119239113986960	104593710167425	-14645403819535	192.168.1.111
2001485862	119240114281600	104594710453699	-14645403827901	192.168.1.111
⋮	⋮	⋮	⋮	⋮

Tabla 4.1: Ejemplo de los datos obtenidos de cada dispositivo

programa se ejecutará en cada uno de los dispositivos bajo análisis.

A la hora de capturar los datos se usó un reloj interno que no debería sufrir alteraciones que disminuyeran su valor (`steady_clock[25]`).

Una vez los dispositivos estén todos escuchando, el observador ejecutará un programa cliente que es el que se encargará de enviar los mensajes al servidor correspondiente. Este programa guarda una marca de tiempo al comienzo de la ejecución t_{start} , que será nuestro punto de referencia. Después mandará n mensajes equiespaciados en intervalos de 1 segundo.

En cada ejecución del bucle se obtendrá una marca de tiempo en el observador t_i , y una marca de tiempo del dispositivo t'_i . Con esto conseguimos tener varios datos:

- La marca de tiempo relativa a cada mensaje desde el inicio, $t_i - t_{start}$. Teóricamente debería de dar valores exactos, ya que se manda un mensaje cada segundo, pero existe cierto retraso.
- La marca de tiempo absoluta del observador t_i .
- La marca de tiempo absoluta del dispositivo t'_i .
- La desviación del reloj del dispositivo respecto al del observador, $t_i - t'_i$.

Un ejemplo de como se guardan estos datos se puede ver en la Tabla 4.1.

Este proceso se realizará para cada dispositivo tanto en una muestra secuencial, como en una muestra en paralelo.

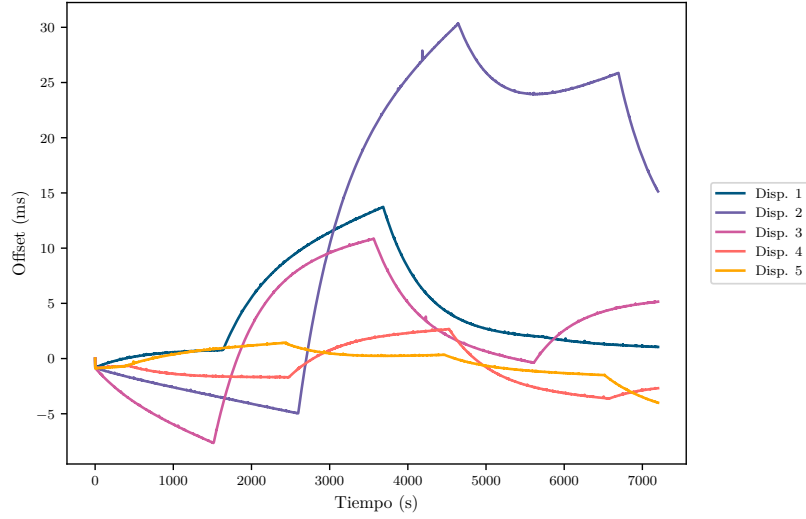


Figura 4.2: Offset acumulado muestra secuencial

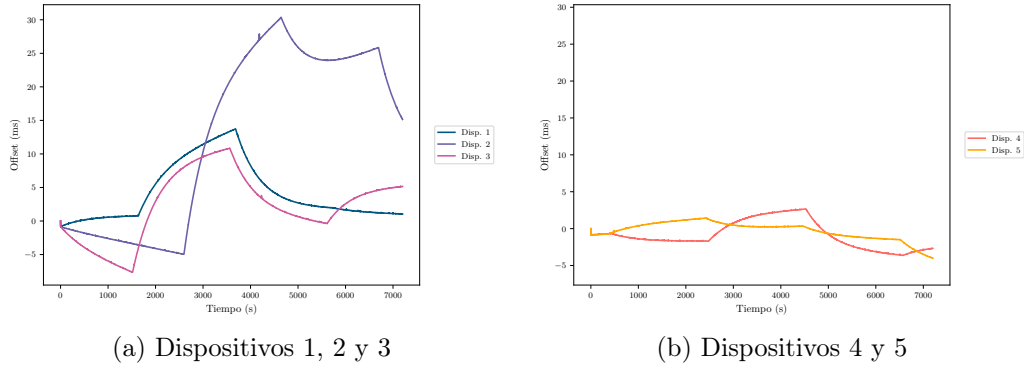


Figura 4.3: Diferencias entre offsets de dispositivos

4.3 Análisis de los datos

En esta sección analizaremos el incremento de la desviación del reloj en cada una de las muestras, así como la desviación acumulada en cada punto.

4.3.1 Experimento 1: Muestra secuencial

En este primer experimento se ha tomado una muestra de 7200 segundos, es decir, 2 horas por dispositivo, lo que en total suman 10 horas de muestras.

En la Fig. 4.2 observamos la desviación (offset) acumulada en cada dispositivo durante esas 2 horas.

Como se puede ver hay 2 tipos de comportamiento. Los dispositivos 1, 2 y 3 se mantienen monótonos al comienzo para después incrementar mucho su desviación. Por contra los dispositivos 4 y 5 se mantienen sin grandes cambios en toda la muestra. Esto se puede ver más claramente en la Fig. 4.3.

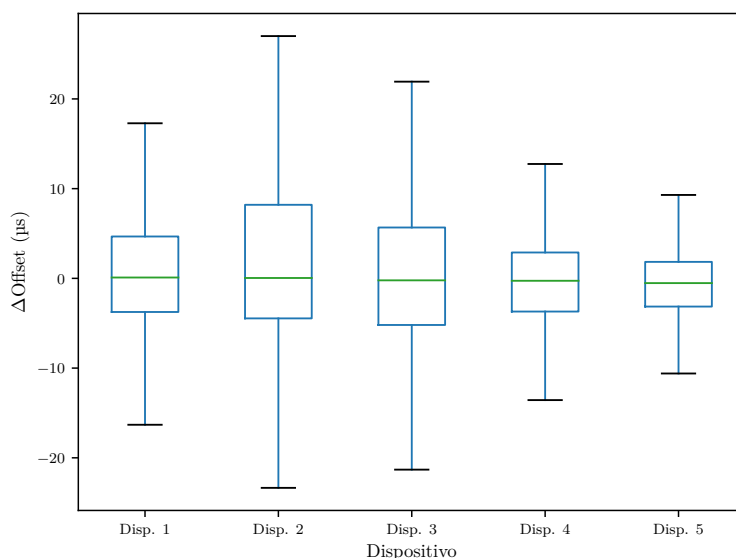


Figura 4.4: Diagrama de cajas muestra secuencial

Lo que nos interesa al final es obtener una forma de distinguir estadísticamente los datos, para ello podemos generar un gráfico que nos muestre entre que valores se mueven estos datos en cada dispositivo, en definitiva, lo podemos ver con diagrama de cajas (Fig. 4.4). Se han eliminado los valores atípicos ya que a tan pequeña escala no dejan ver los verdaderos resultados.

Con este diagrama podemos ver lo comentado anteriormente. Los dispositivos 4 y 5 son los que menos varían, esto se puede ver en que las cajas son pequeñas y la mediana está centrada entre los cuartiles (Q1 y Q3).

En los otros 3 dispositivos vemos como entre la mediana y el tercer cuartil hay más espacio que entre la mediana y el primer cuartil. Esto se debe a que tienen muchos incrementos grandes, por eso crecen tan bruscamente.

Con esto nos hacemos una idea de los dispositivos son distinguibles estadísticamente, lo que nos confirma que podremos entrenar un modelo que los identifique.

4.3.2 Experimento 2: Muestra paralela

Para el segundo experimento se han capturado datos de todos los dispositivos simultáneamente durante un periodo de 43 200 segundos, es decir, 12 horas.

En la Fig. 4.5 podemos ver la desviación acumulada en cada dispositivo en este periodo de tiempo. En este gráfico también se han marcado ciertos puntos en los que los dispositivos parecen “sincronizarse”. Con esto nos referimos a que alrededor de estas marcas de tiempo todos los dispositivos cambian de tendencia bruscamente y además parecen repetirse con cierta periodicidad. Las marcas de tiempo de este gráfico corresponden a los puntos {4000, 16 500, 29 000, 41 000} que están aproximadamente equidistantes (aproximadamente

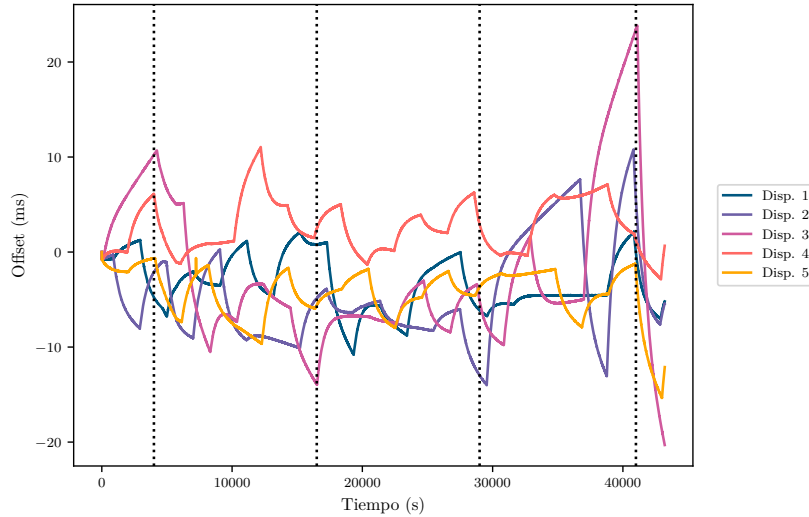


Figura 4.5: Offset acumulado muestra paralela

12 000 segundos).

Esta “sincronización” entre dispositivos parece deberse a algún tipo de actualización del reloj interno del dispositivo mediante algún demonio del sistema operativo. El principal demonio que se encarga de esta tarea es el servicio NTP, el cual fue desactivado para realizar estas pruebas.

Si consultamos otro diagrama de cajas con el incremento de la desviación en cada instante (Fig. 4.6) podemos ver como todos los dispositivos están mucho a la par que en la muestra secuencial (Fig. 4.4). Siguen teniendo ciertas diferencias, por lo cual concluimos que son estadísticamente diferenciables también.

4.4 Elección de la muestra de datos

Analizando los incrementos de la desviación en ambas muestras vemos que la muestra paralela tiene valores más parecidos a los que esperaríamos. Estos valores de incremento de la desviación son más pequeños y más parecidos entre todos los dispositivos, es por ello que entrenaremos los modelos con los datos de la muestra paralela.

Estos datos se obtendrán mediante una ventana deslizante de 1 minuto sobre el incremento de la desviación del reloj del dispositivo. Usaremos las siguientes variables estadísticas:

- Suma
- Media
- Mediana
- Moda
- Desviación típica
- Rango intercuartílico
- Curtosis
- Coeficiente de asimetría (skewness)
- Máximo
- Mínimo

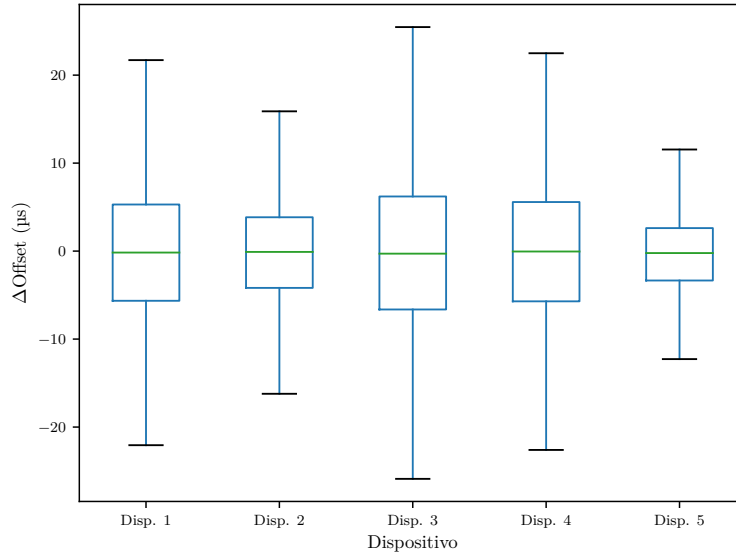


Figura 4.6: Diagrama de cajas muestra paralela

	Sum	Mean	Median	Mode	Std	IQR	Kurtosis	Skew	Max	Min	Device
1	21773.0	362.88333333333333	-306.5	-17885.0	8212.584818005707	12095.5	0.0567239505757037	0.4351150677774124	20799.0	-17885.0	Disp. 1
2	4059.0	67.65	239.5	-15862.0	5615.809629134339	3012.25	1.400480680742287	-0.1242668154207108	14194.0	-15862.0	Disp. 2
3	1187.0	19.783333333333333	503.5	-25009.0	7760.832728977938	8467.0	1.231550787741679	-0.2621794660161829	20510.0	-25009.0	Disp. 3
4	74154.0	1235.9	2016.5	-21616.0	8391.731753359314	9663.75	0.4104874852336051	-0.4087239664161064	19992.0	-21616.0	Disp. 4
5	-127078.0	-2117.9666666666667	-2385.0	-11894.0	4354.015072678016	2737.0	1.9665757630194	0.6070065306393123	10383.0	-11894.0	Disp. 5
6	20147.0	335.78333333333336	-306.5	-17885.0	8244.497450208664	12095.5	0.0362682762350909	0.4263535051366743	20799.0	-17885.0	Disp. 1
⋮	⋮	⋮	⋮	⋮	⋮	⋮	⋮	⋮	⋮	⋮	⋮

Tabla 4.2: Datos estadísticos muestra paralela

Generando estos datos estadísticos de la muestra paralela mediante la ventana deslizante, obtenemos los resultados que se pueden ver en la Tabla 4.2. Estos datos estadísticos serán los que posteriormente se usarán para entrenar un modelo de Machine Learning.

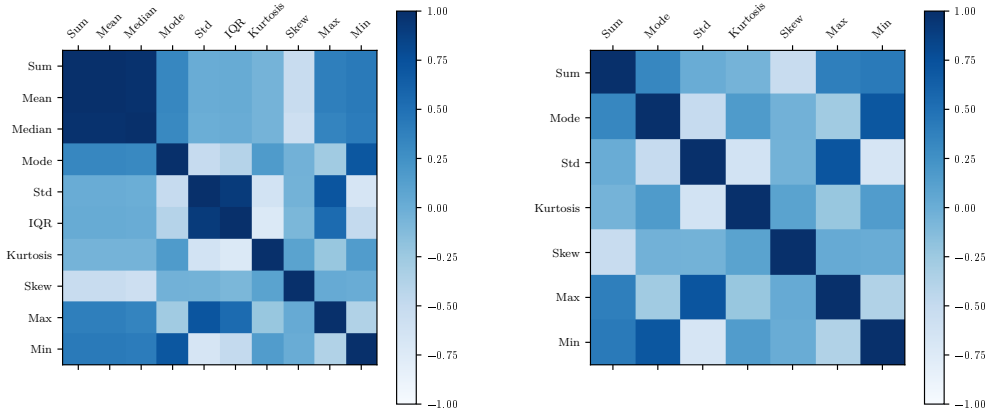
4.5 Reducción de la dimensionalidad

En esta sección buscaremos valores estadísticos correlacionados entre sí. En caso de existir habrá que eliminarlos antes de entrenar los modelos, puesto que no aportan información y provocarán que el algoritmo tarde aún más tiempo en ser entrenado.

La correlación entre las variables estadísticas se puede ver en la Fig. 4.7. Vemos como suma, media y mediana son las variables más correlacionadas entre sí, por tanto serán eliminadas 2 de ellas.

4.6 Entrenamiento de los modelos

En esta sección analizaremos los resultados que hemos obtenido de los modelos sobre los datos de la muestra paralela, como hemos concluido en la sección anterior.



(a) Correlación entre las variables iniciales (b) Correlación entre las variables finales

Figura 4.7: Correlación entre las variables estadísticas

Algoritmo	Implementación
Árboles de decisión	<code>DecisionTreeClassifier</code> [18]
Random Forest	<code>RandomForestClassifier</code> [24]
MLP	<code>MLPClassifier</code> [23]
Naive Bayes	<code>GaussianNB</code> [19]
KNN	<code>KNeighborsClassifier</code> [21]
SVM	<code>LinearSVC</code> [22]

Tabla 4.3: Equivalencia entre algoritmo e implementación

Para realizar este entrenamiento se ha usado la librería `scikit-learn` sobre el lenguaje de programación Python. Esta librería tiene clases que implementan los algoritmos vistos anteriormente que serán los que usemos (Sec. 2.2.3). Las clases que corresponden a cada modelo son las que se ven en la Tabla 4.3.

A la hora de entrenar modelos de machine learning lo primero que debemos hacer es ajustar sus hiperparámetros. Los hiperparámetros de un modelo son parámetros del mismo que se pueden modificar para que este se adapte mejor a los datos con los que se está trabajando o para cambiar la forma en la aprende este modelo también para adaptarse a estos datos.

Tanto para ajustar los hiperparámetros no se usa la completitud de los datos, se usa un modelo entrenamiento/validación/test. Los datos se han dividido en un conjunto de entrenamiento y otro de test, 70 % para entrenamiento y 30 % para test, lo habitual es tener en torno a una tercera parte de los datos para entrenamiento y el resto para test. Este proceso (Fig. 4.8) se hace para comprobar la capacidad de generalización del modelo con datos que no haya visto nunca.

Para particionar los datos lo haremos tomando muestras aleatorias, pero ordenadas para mantener la correlación temporal de los datos. Por ejemplo, si tuviéramos los datos

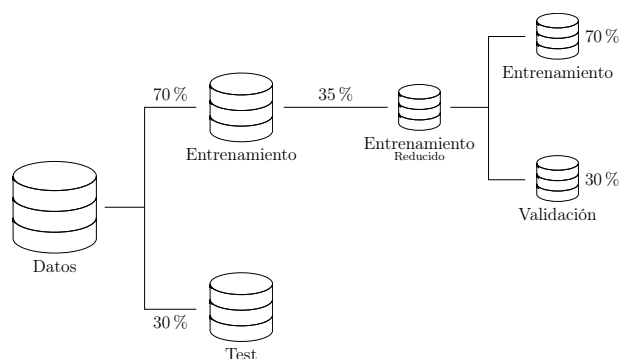


Figura 4.8: Particiones de los datos

x_1, \dots, x_{20} , una muestra aleatoria podría ser $x_{15}, x_8, x_3, x_{17}, x_5, x_{12}$ pero si estos datos presentan una correlación temporal, como es nuestro caso, esta se pierde. Por tanto, reordenamos los datos a su orden natural $x_3, x_5, x_8, x_{12}, x_{15}, x_{17}$.

El conjunto de entrenamiento se usará únicamente con el modelo final y con los hiperparámetros ya ajustados, puesto que contiene una gran cantidad de datos. Para ajustar los hiperparámetros de cada modelo y comparar los modelos entre sí usaremos un conjunto reducido de este, un 35 % de los datos de entrenamiento.

A este subconjunto de los datos de entrenamiento también será dividido en un conjunto de entrenamiento/test, aunque en este caso al conjunto test lo llamaremos conjunto de validación. Con estos conjuntos entrenaremos los algoritmos para ajustar los hiperparámetros y decidir el modelo.

Para comprobar qué hiperparámetros son los que mejor se ajustan se usará la función `GridSearchCV` [20] que nos permite dados un algoritmo y un conjunto de valores para los hiperparámetros probar todas las combinaciones y obtener así un accuracy de cada uno, con lo que podremos compararlos y quedarnos con los mejores. Esta función nos permite usar validación cruzada. La validación cruzada

Vamos a ajustar los hiperparámetros de un modelo como ejemplo, en este caso elegiremos el algoritmo de Random Forest sobre los datos la muestra paralela. Los hiperparámetros que se ha decidido ajustar son:

- **criterion**: función que mide la pureza de los nodos hijos.
- **max_features**: número de características que se tienen en cuenta para realizar la división de un nodo.
- **n_estimators**: número de árboles de decisión que participan en el algoritmo.

Para evitar que una rama entre en un bucle infinito debido a que no es capaz de dividir correctamente los nodos se ha fijado la profundidad máxima de cada rama (hiperparámetro **max_depth**) a un valor de 1000.

Si nos fijamos primero en los hiperparámetros **criterion** y **max_features** (Fig. 4.9a) vemos que en promedio el mejor valor de **criterion** es **gini**. Fijaremos este parámetro y compararemos la totalidad de los valores entre **max_features** y **n_estimators** (Fig. 4.9b).

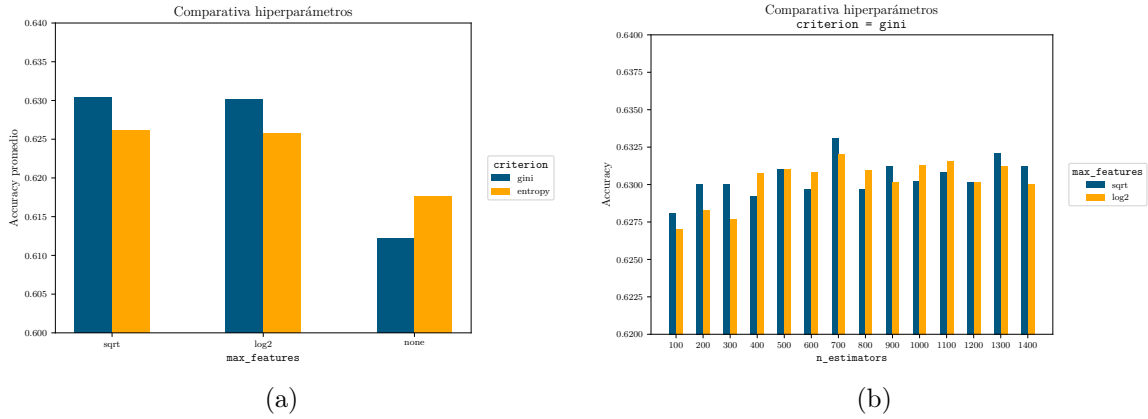


Figura 4.9: Comparativa hiperparámetros Random Forest

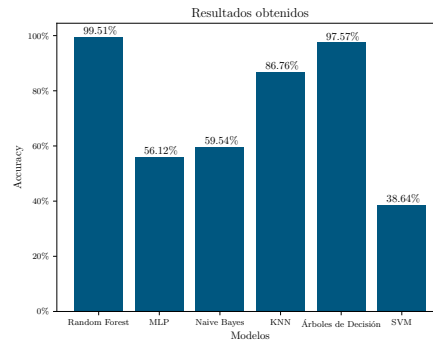


Figura 4.10: Comparativa de resultados entre modelos

En este caso vemos que los mejores valores son `criterion = gini`, `n_estimators = 700` y `max_features = sqrt`. Con estos hiperparámetros entrenamos un modelo sobre el conjunto de entrenamiento menor y después realizamos una predicción con el conjunto de validación.

Una vez entrenados todos los modelos con sus mejores hiperparámetros y con un valor de generalización obtenido de la predicción tenemos los resultados que se pueden ver en la Fig. 4.10.

Como se puede ver en ambas muestras los modelos que presentan mejores resultados son los que se basan en árboles de decisión, que son el propio algoritmo de árboles de decisión y random forest. Otra forma de ver estos resultados es mediante las matrices de confusión que nos genera cada algoritmo.

Es fácil ver en la Fig. 4.11 que los modelos basados en árboles aciertan prácticamente en la totalidad de las ocasiones, en particular, el algoritmo de random forest es el que mejores resultados consigue ($\sim 99.5\%$). Por esta razón entrenaremos un modelo de random forest con los hiperparámetros ajustados anteriormente con la totalidad de los datos de entrenamiento. Los resultados obtenidos se pueden ver en la matriz de confusión resultante (Fig. 4.12). Con estos resultados obtenemos un valor final de accuracy de 0.9944 (99.44%).

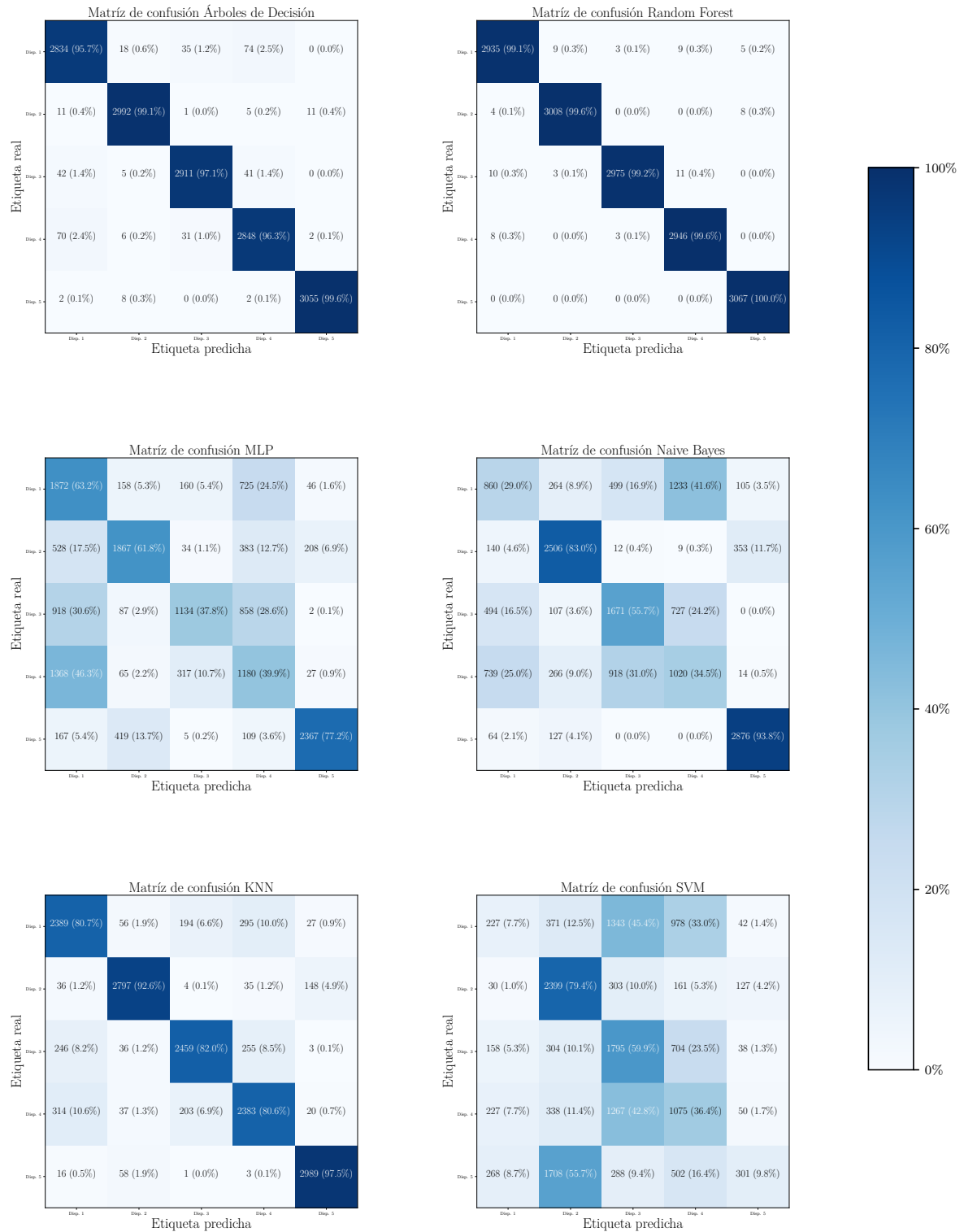


Figura 4.11: Matrices de confusión con datos de la muestra paralela

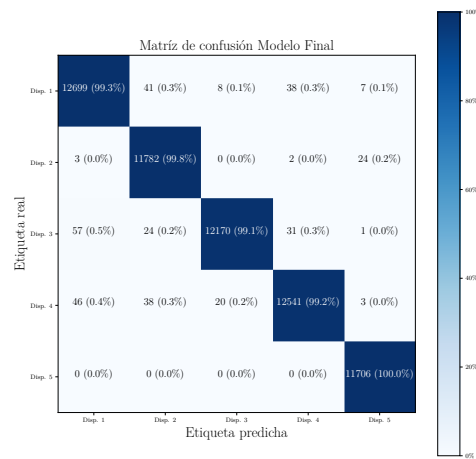


Figura 4.12: Matriz de confusión del modelo final

CAPÍTULO 5

Resultados

CAPÍTULO 6

Conclusiones y vías futuras

En este proyecto hemos diseñado un modelo capaz de clasificar dispositivos con los que nos estamos comunicando en base a pequeñas diferencias en la fabricación de los componentes, que altera el tiempo que tardan en ejecutar una cierta tarea.

En la primera parte del proyecto hemos visto como para obtener la precisión en los tiempos que queríamos hemos tenido que usar el protocolo TCP y enviar las marcas de tiempo en el cuerpo del paquete.

En este momento se vio que el interno es susceptible de ser alterado por procesos externos para que esté sincronizado en todo momento con el resto de los dispositivos (protocolo NTP), por este motivo este servicio tuvo que ser desactivado antes de realizar ninguna captura de paquetes, pues las diferencias entre tiempos no serían las propias del dispositivo.

Una vez desactivado el servicio, aún se obtenían datos que no eran correctos debido a que se estaba usando un reloj del sistema que podía ser modificado. Este reloj fue cambiado por un reloj que no fuera modificable (`steady_clock`) y con eso los datos fueron más precisos.

Se realizaron capturas tanto en secuencial como en paralelo de la desviación de los relojes de los dispositivos, de las cuales se obtuvieron sus incrementos en cada momento. Con estos incrementos y una ventana deslizante de 1 minuto se obtienen variables estadísticas que servirán para entrenar los modelos.

Después de ver los resultados de los modelos con los conjuntos de entrenamiento/validación y analizando los posibles usos del sistema implementado se considera que es mejor quedarse con la muestra paralela.

Por último entrenamos el modelo elegido, Random Forest, con los datos de la muestra paralela y los hiperparámetros que se consideraron mejores cuando se realizó el entrenamiento los conjuntos de entrenamiento/validación. De este modelo obtenemos unos resultados finales de 99.44 % en el valor de accuracy.

Como posibles vías futuras de este trabajo estaría el desarrollo de un modelo a tiempo real de este sistema. Para este cometido se debería tener una copia local de las huellas que

generan ciertos dispositivos para poder compararlos con los que estamos recibiendo en ese momento y así comprobar si se trata de un atacante.

Para realizar este sistema a tiempo real también habría que crear mecanismos que permitan al sistema actualizarse con nuevos datos, y con ello generar nuevas huellas para los dispositivos. También habría que modificar los modelos de machine learning debido a que para que el sistema funcione a tiempo real, estos deberían actualizarse.

Bibliografia

- [1] M. Abadi *et al.*, *TensorFlow: Large-scale machine learning on heterogeneous systems*, Software available from tensorflow.org, 2015. [Online]. Available: <https://www.tensorflow.org/>.
- [2] A. Aksoy and M. H. Gunes, “Automated iot device identification using network traffic”, in *ICC 2019 - 2019 IEEE International Conference on Communications (ICC)*, 2019, pp. 1–7.
- [3] D. A. Borman, R. T. Braden, and V. Jacobson, “TCP Extensions for High Performance”, Tech. Rep. 1323, May 1992, 37 pp. [Online]. Available: <https://rfc-editor.org/rfc/rfc1323.txt>.
- [4] L. Breiman, “Random forests”, *Machine learning*, vol. 45, no. 1, pp. 5–32, 2001.
- [5] W. Commons. “File:knnclassification”. (2010), [Online]. Available: <https://commons.wikimedia.org/wiki/File:KnnClassification.svg>.
- [6] W. Commons. “Svm separating hyperplanes (svg)”. (2012), [Online]. Available: [https://commons.wikimedia.org/wiki/File:Svm_separating_hyperplanes_\(SVG\).svg](https://commons.wikimedia.org/wiki/File:Svm_separating_hyperplanes_(SVG).svg).
- [7] L. C. C. Desmond, C. C. Yuan, T. C. Pheng, and R. S. Lee, “Identifying unique devices through wireless fingerprinting”, in *Proceedings of the First ACM Conference on Wireless Network Security*, ser. WiSec '08, Alexandria, VA, USA: Association for Computing Machinery, 2008, pp. 46–55, ISBN: 9781595938145. [Online]. Available: <https://doi.org/10.1145/1352533.1352542>.
- [8] M. U. Farooq, M. Waseem, S. Mazhar, A. Khairi, and T. Kamal, “A review on internet of things (iot)”, *International journal of computer applications*, vol. 113, no. 1, pp. 1–7,
- [9] P. Gokhale, O. Bhat, and S. Bhat, “Introduction to iot”, *International Advanced Research Journal in Science, Engineering and Technology*, vol. 5, no. 1, pp. 41–44, 2018.
- [10] M. Hall, E. Frank, G. Holmes, B. Pfahringer, P. Reutemann, and I. H. Witten, “The weka data mining software: An update”, *SIGKDD Explor. Newsl.*, vol. 11, no. 1, pp. 10–18, 2009, ISSN: 1931-0145. [Online]. Available: <https://doi.org/10.1145/1656274.1656278>.
- [11] S. A. Hamad, W. E. Zhang, Q. Z. Sheng, and S. Nepal, “Iot device identification via network-flow based fingerprinting and learning”, in *2019 18th IEEE International Conference On Trust, Security And Privacy In Computing And Communications/13th IEEE International Conference On Big Data Science And Engineering (TrustCom/Big-DataSE)*, IEEE, 2019, pp. 103–111.
- [12] J. Hatwell, M. M. Gaber, and R. M. A. Azad, “Chirps: Explaining random forest classification”, *Artificial Intelligence Review*, vol. 53, pp. 5747–5788, 2020.

-
- [13] H. Jafari, O. Omotere, D. Adesina, H.-H. Wu, and L. Qian, "Iot devices fingerprinting using deep learning", in *MILCOM 2018 - 2018 IEEE Military Communications Conference (MILCOM)*, 2018, pp. 1–9.
 - [14] F. Lanze, A. Panchenko, B. Braatz, and A. Zinnen, "Clock skew based remote device fingerprinting demystified", in *2012 IEEE Global Communications Conference (GLOBECOM)*, 2012, pp. 813–819.
 - [15] Y. Meidan *et al.*, "Profiliot: A machine learning approach for iot device identification based on network traffic analysis", in *Proceedings of the Symposium on Applied Computing*, ser. SAC '17, Marrakech, Morocco: Association for Computing Machinery, 2017, pp. 506–509, ISBN: 9781450344869. [Online]. Available: <https://doi.org/10.1145/3019612.3019878>.
 - [16] M. Miettinen, S. Marchal, I. Hafeez, N. Asokan, A.-R. Sadeghi, and S. Tarkoma, "Iot sentinel: Automated device-type identification for security enforcement in iot", *2017 IEEE 37th International Conference on Distributed Computing Systems (ICDCS)*, 2017. [Online]. Available: <http://dx.doi.org/10.1109/ICDCS.2017.283>.
 - [17] P. Oser, F. Kargl, and S. Lüders, "Identifying devices of the internet of things using machine learning on clock characteristics", in *Security, Privacy, and Anonymity in Computation, Communication, and Storage*, G. Wang, J. Chen, and L. T. Yang, Eds., Cham: Springer International Publishing, 2018, pp. 417–427, ISBN: 978-3-030-05345-1.
 - [18] "DecisionTreeClassifier", [Online]. Available: <https://scikit-learn.org/stable/modules/generated/sklearn.tree.DecisionTreeClassifier.html#sklearn.tree.DecisionTreeClassifier>.
 - [19] "GaussianNB", [Online]. Available: https://scikit-learn.org/stable/modules/generated/sklearn.naive_bayes.GaussianNB.html#sklearn.naive_bayes.GaussianNB.
 - [20] "GridSearchCV", [Online]. Available: https://scikit-learn.org/stable/modules/generated/sklearn.model_selection.GridSearchCV.html.
 - [21] "KNeighborsClassifier", [Online]. Available: <https://scikit-learn.org/stable/modules/generated/sklearn.neighbors.KNeighborsClassifier.html>.
 - [22] "LinearSVC", [Online]. Available: <https://scikit-learn.org/stable/modules/generated/sklearn.svm.LinearSVC.html>.
 - [23] "MLPClassifier", [Online]. Available: https://scikit-learn.org/stable/modules/generated/sklearn.neural_network.MLPClassifier.html#sklearn.neural_network.MLPClassifier.
 - [24] "RandomForestClassifier", [Online]. Available: <https://scikit-learn.org/stable/modules/generated/sklearn.ensemble.RandomForestClassifier.html#sklearn.ensemble.RandomForestClassifier>.
 - [25] "std::chrono::steady_clock", [Online]. Available: https://en.cppreference.com/w/cpp/chrono/steady_clock.
 - [26] "The \"only\" coke machine on the internet". (1982), [Online]. Available: https://www.cs.cmu.edu/~coke/history_long.txt.
 - [27] C. Veenman, M. Reinders, and E. Backer, "A maximum variance cluster algorithm", *IEEE Transactions on Pattern Analysis and Machine Intelligence*, vol. 24, no. 9, pp. 1273–1280, 2002.
-

-
- [28] I. Yaqoob *et al.*, “Internet of things architecture: Recent advances, taxonomy, requirements, and open challenges”, *IEEE Wireless Communications*, vol. 24, no. 3, pp. 10–16, 2017, ISSN: 1558-0687.